

二次元モデルによる海岸帶水層における被压地下水の運動について

慶應大学工学部 正員 植治忠男
慶應大学工学部 正員 井内国光
(株)建設技術研究所 正員 ○銅金裕司

1. まえがき 昨年度の本会において著者らは海岸帶水層における被压地下水に関する基礎方程式の種類の近似を用いて近似方程式を構築し、その数値解析結果と基礎方程式による解析結果と比較検討した結果、近似方程式による解法が、妥当性を有し、実用的であることを得た。前報にて、一次元モデルであるが、より一般的な二次元モデルを議論する必要がある。そこで、ガラーキン有限要素法を用いて二次元モデルを定式化し、現地への適用例を示すを機、被压水層界面の運動について考察する。

2. 近似方程式のガラーキン有限要素法による定式化

近似方程式: 図-1 は、被压地下水の鉛直断面図を示す。被压水層界面が存在する領域を塗水化域、海水の升が存在する領域を塗水域と呼ぶ。前報で示すが、平均的な水位 H^* が塗水化域と塗水層厚 G の近似方程式は、式(1)および(2)で示される。

$$S^* \frac{\partial \eta^{eff}}{\partial t} = \left(\frac{\partial^2}{\partial x^2} + \frac{\partial^2}{\partial y^2} \right) \eta^{eff} - q^* \quad (1)$$

$$\sigma^* \frac{\partial G}{\partial t} = \frac{\partial}{\partial x} \left[G \frac{\partial}{\partial x} \left\{ \eta^{eff} - \frac{(1-G)^2}{2} \right\} \right] + \frac{\partial}{\partial y} \left[G \frac{\partial}{\partial y} \left\{ \eta^{eff} - \frac{(1-G)^2}{2} \right\} \right] \quad (2)$$

ここで、 $S^* = S/kD$, $\sigma^* = \sigma P_1/(P_2-P_1)kD$, $q^* = Q P_1/(P_2-P_1)kD$, 塗水化域心 $\eta^{eff} = E_2 - \frac{1}{2}$, $E_2 = (\eta_2 - \tilde{H})P_1/(P_2-P_1)D$, 塗水化域外 $G = \tilde{H}/D$, $E_1 = (\eta_1 - \tilde{H})P_1/(P_2-P_1)D$, S : 占留係数, σ : 有効圧縮率, k : 塗水係数, Q : 塗水量, D : 塗水層厚, \tilde{H} : 塗水化域水頭, η_1 , η_2 : 塗水化域心水頭, P_1 , P_2 : 海水, 塗水化域水頭である。

境界条件: 上述の被压地下水の塗水化現象に関する二次元非定常問題は、下界最初 $t=0$ に限らず式(1), 式(2)が関係する式(2)を平面領域における境界条件の下で解くことにより得られる。図-2 は、 η^{eff} および G に関する境界条件を示したものであり、図中 DC は地下水流入口, AB は海との境界, AD および BC は塗壁であり, $S_R^* = S_R P_1/(P_2-P_1)k D^2$ (S_R : 単位表面あたりの流入量), $V^* = (\eta_R - \tilde{H})P_1/(P_2-P_1)D - \frac{1}{2}(\eta_R - \tilde{H})$: 塗界心の水頭) である。

ガラーキン有限要素法による定式化: 式(1)および(2)をガラーキン有限要素法により定式化する。 η^{eff} および G を離散化し

$$\eta^{eff} = \sum_{i=1}^n N_i(x, y) \phi_i(t) \quad (3) \quad G = \sum_{i=1}^n N_i'(x, y) \phi'_i(t) \quad (4)$$

図-2 境界条件

$$G=0 \quad (5) \quad [H] \{\phi\} + [P] \frac{\partial \{\phi\}}{\partial t} + \{F\} = 0 \quad (5) \quad [H] \{\phi'\} + [P] \frac{\partial \{\phi'\}}{\partial t} + \{F'\} = 0 \quad (6)$$

となる。ここで、 $H_{ij} = \int_{\Omega} \left(\frac{\partial N_i}{\partial x} \frac{\partial N_j}{\partial x} + \frac{\partial N_i}{\partial y} \frac{\partial N_j}{\partial y} \right) dx dy$, $H'_{ij} = \int_{\Omega} G(1-G) \left(\frac{\partial N_i}{\partial x} \frac{\partial N_j}{\partial x} + \frac{\partial N_i}{\partial y} \frac{\partial N_j}{\partial y} \right) dx dy$, $P_{ij} = \int_{\Omega} N_i S_R^* N_j dx dy$, $P'_i = \int_{\Omega} N_i \sigma^* N_j dx dy$, $F_i = \int_{\Omega} N_i q^* dx dy - \int_{\Omega} N_i \sigma^* N_j dx dy$, $F'_i = \int_{\Omega} G \left(\frac{\partial N_i}{\partial x} \frac{\partial N_j}{\partial x} + \frac{\partial N_i}{\partial y} \frac{\partial N_j}{\partial y} \right) dx dy$, Ω は x および y に対する G の離散領域, N_i , N'_i は列状態数である。強制項 $\{F\}$ および $\{F'\}$ は差分法を用いた。

3. 現地への適用 ここで、二次元モデルを徳島県那賀川河口部へ適用してみる。図-3 は、塗水層モデル

を示すのが判別である。帶水層厚25m、透水係数 1.11 cm/sec 、貯留係数 0.01 、有効間隙率 0.3 、また、地下水流入量が心状漏水量が最初から $365000 \text{ m}^3/\text{day}$ から $335000 \text{ m}^3/\text{day}$ であるものが、次の瞬間に地下水が $367800 \text{ m}^3/\text{day}$ から $360000 \text{ m}^3/\text{day}$ に変化し、以後 α が懸念される位置を非定常解で示す。図-4は $t=0$ 日、 0 日まで2年後 α の進展水境界面と地下水位を示すものである、境界面下内陸部へ $200 \sim 250 \text{ m}$ 流入している。図-5は $t=0$ 日、 0 日まで2年後 α の位置を示したもので、観測結果によく一致している。 α これから、二次元モデルで、現地の塩水化現象をよく説明できるものと考える。

4. 塩化水境模型による非定常解 方式前報の一次元モデルと比較するところ二次元モデルによる解析結果と一次元モデルの結果とよく一致を示す。

以下、揚水地点の分布型式として10箇所あり、各山地の進展水境界面の時間的変動を示す。用いた帶水層モデルは前報と同じで豊饒果樹園川河口をモデル化したものである、表は 2500 m 、幅 1000 m 、厚さ 20 m の直方体である。貯留係数、透水係数を心状漏隙率 α 、 0.01 、 1.0 cm/sec 、 0.3 とした。図-8は $t=0$ 日と $t=0$ 日で示す、最初に總漏水量が $1000 \text{ m}^3/\text{day}$ である、表の中央部の瞬間 $t=14000 \text{ m}^3/\text{day}$ に変動する以後 α が懸念される位置を示す、図中 α は丸で揚水地點である。この図を見ると、境界面 α は 0 日で直線型であるが 300 日で内陸部へ凸型を示すので、 $600 \sim 1200$ 日を経て揚水地點は直角 L 字形の構造で進む様子が、直進 α と直角 α とで構成されることがわかる。図-9は $t=0$ 日、海岸並んで揚水 α が場合の初期に懸念される 300 日で α の進展面を示すものであるが、總漏水量が増大する場合である。この図を見ると、初期懸念地帯が 300 日で $1400 \sim 1500$ m程度の現象が発生している。

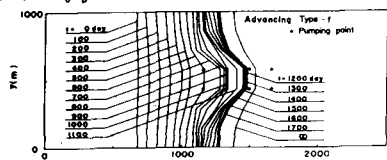


図-8 境界面 α の移動

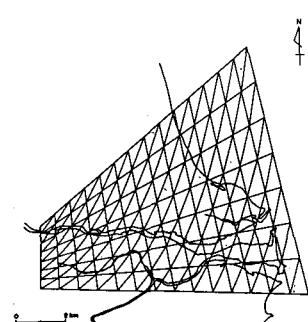


図-3 帯水層モデル

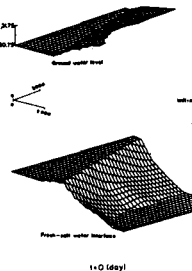
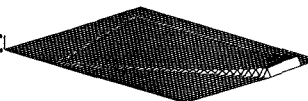


図-4 境界面 α と地下水位(0日)

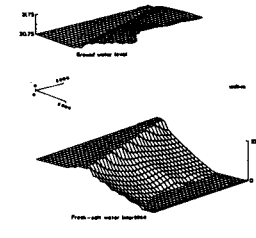
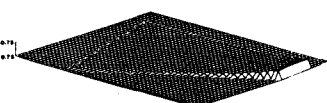


図-5 境界面 α と地下水位(730日)

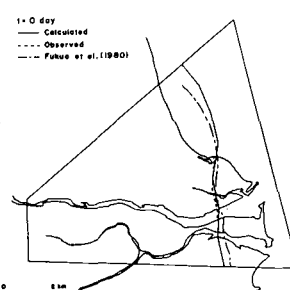


図-6 境界面 α と(0日)

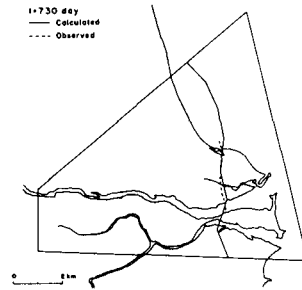


図-7 境界面 α と(730日)

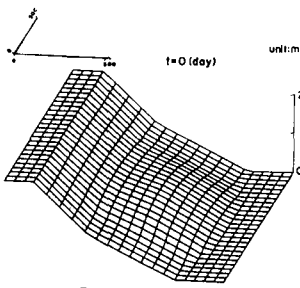


図-9 境界面(0日)

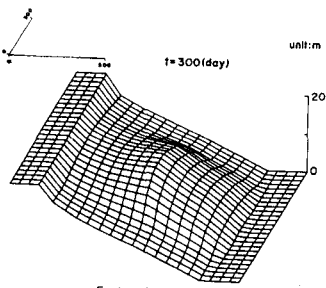


図-10 境界面(300日)